

# 腹部巨大囊性病变 CT 诊断

陈凯 柳学国 杨林 王坚

**【摘要】** 目的:探讨腹部巨大囊性病变的CT诊断和鉴别诊断要点。方法:腹部巨大囊性病变30例,均经手术病理证实,分析其病变中心点、边界、囊壁、分隔、钙化、液平征、强化等要素。结果:中下腹包块14例,有15个包块。其中:卵巢浆液性囊腺瘤4例,5个包块。粘液性囊腺瘤3例,卵巢囊肿1例,卵巢一输卵管炎性囊肿1例,巨大膀胱憩室1例,成熟性囊性畸胎瘤4例;中上腹包块13例,其中:囊性淋巴管瘤5例,肠重复畸形囊肿2例,小网膜囊内神经鞘瘤囊性变1例,胆总管囊肿3例,非胰腺性假性囊肿2例;腹膜后包块3例,有胰腺假性囊肿1例,重度肾积水2例。结论:腹部巨大囊性病变绝大多数为良性;包块中心点位于中下腹者以女性附件疾患发病率最高;囊性淋巴管瘤在腹部囊性病变中占有一定比例,并且腹膜后发病也不少见。

**【关键词】** 囊性病变 巨大 体层摄影术 X线计算机

**【中图分类号】** R814.42, R735 **【文献标识码】** A **【文章编号】** 1000-0313(2000)05-0330-03

**CT diagnosis of the giant cystic lesions in abdomen** Chen Kai, Liu Xueguo, Yang Lin, et al. Department of Medical Imaging of Zhuhai Medical Center 519000

**【Abstract】 Objective:** To study CT diagnosis and differential diagnosis of the giant cystic lesions in abdomen. **Methods:** 30 cases of the giant cystic lesions were confirmed by surgery and histopathology. The center of the lesion, attenuation, thickness of cystic wall and septa, calcification, fluid-fluid level sign and contrast enhancement were analyzed. **Results:** 14 cases of giant cystic lesions in the central-lower part of abdomen include 4 cases of ovarian serous cystadenoma, 3 ovarian mucinous cystadenoma, 1 ovarian simple cyst, 1 tubo-ovarian inflammatory cyst, 1 giant bladder diverticulum and 4 cystic teratoma. 13 cases of cystic mass in the central-upper part include 5 cases of cystic lymphangioma, 2 intestinal duplication, 1 giant cystic schwannoma in omental bursa, 3 common bile duct cyst and 2 peritoneal pseudocyst. 3 cases of retroperitoneal mass included 1 pancreatic pseudocyst and 2 giant hydronephrosis. **Conclusion:** Most of the giant cystic lesions in abdomen are benign. Ovarian cystadenoma is the most common. Cystic lymphangioma, retroperitoneal cystic mass and others should also be considered in differential diagnosis.

**【Key Words】** Cystic lesion Giant Tomography, X-ray computed

腹部囊性病变常见的有十多种,当病变不大时,一般容易作出诊断。本文总结的一组腹部巨大囊性病变,其直径均在10cm以上。由于囊肿巨大,邻近解剖结构均发生严重改变,给诊断造成困难。作者通过对本组病例的总结,结合文献复习,提出了常见囊性病变的CT诊断和鉴别诊断要点。

## 材料和方法

本组病例共30例,男性12例,女性18例。年龄最大88岁,最小6天。临床症状有腹胀、腹痛,腹部包块。3例伴有发热。病程几天至数十年不等。其中,卵巢源性囊性肿瘤8例,淋巴管瘤5例,畸胎瘤4例,肠源性囊肿2例,神经源性囊肿1例,炎性囊肿1例,巨大膀胱憩室1例,胆总管囊肿3例,腹腔假性囊肿2例,腹膜后囊性肿块3例。所有病例均手术和病理证

实。

采用德国SIEMENS公司SOMATOM PLUS-S全身CT扫描机,扫描范围覆盖病变整体,层厚10mm,层间距10mm,移行区加局部5mm扫描或螺旋扫描,所有病例均作平扫加静脉增强CT,造影剂为ULTRAVIST(300mgI/ml)100ml,2~3ml/sec团注。

口服对比剂,全部病例均口服2%泛影葡胺500ml~1000ml,服完药后30~60min开始扫描。

## 结 果

30例腹部巨大囊性病变的组织学类型与CT表现见表1。

1. 卵巢粘液性囊腺瘤 女,39岁,中下腹至盆腔于腹膜腔内有一巨大囊性肿块,大小约26cm×13cm×27cm,壁薄,约2~3mm,囊内靠腹侧另套有子房,子房壁薄,房内密度不均,并可见多个细条样间隔形成的小囊,增强无强化。手术后病理诊断卵巢粘液性囊腺瘤(图1)。

作者单位:519000 珠海市医疗中心医学影像中心

作者简介:陈凯(1962~),男,湖北安陆,主治医师,从事放射学临床及研究

© 1994-2012 China Academic Journal Electronic Publishing House. All rights reserved. <http://www.cnki.net>

表 1 腹部巨大囊性病变组织学类型与 CT 表现

组织学类型	例数	CT 表现												
		中心点	单房	多房	囊性	囊实质性	分隔	薄壁	厚壁	边界清	边界模糊	钙化	脂肪	液平征
卵巢浆液性囊腺瘤	4	中下腹	4	1	3	2	1	3	1	1	1	1	1	1
卵巢粘液性囊腺瘤	3	中下腹	1	2	2	1	2	2	1	2	1			1
卵巢囊肿	1	中下腹	1		1			1			1			
卵巢输卵管炎性囊肿	1	中下腹		1	1		1	1			1			
巨大膀胱憩室	1	中下腹	1					1			1			
成熟性囊性畸胎瘤	4	中下腹	3	1	1	3	1	2	2	3	1	3	4	4
淋巴管瘤	5	中上腹	1	4		5	4	3	2	2	2		2	
(腹膜后 2 例)														
肠重复畸形囊肿	2	中上腹	1	1		2	1	1	1	1	1			
小网膜囊内神经鞘瘤囊性变	1	中上腹	1			1	1		1	1		1		
胆总管囊肿	3	中上腹	3					1	2	1	2			
腹腔假性囊肿	2	中上腹	1	1	2		1		2		2			
胰腺假性囊肿	1	腹膜后	1		1			1			1			
重度肾积水	2	腹膜后		2		2	2	2		2				
合计	30		18	12	13	14	14	18	12	17	10	5	4	8

2. 腹膜后巨大淋巴管瘤合并感染 男, 4 岁, 腹痛伴发热 2 月余, 左侧腹部可触及肿块, 有压痛, CT 平扫左侧腹膜后腔见囊实性等低密度肿块, 囊内有嵴状突起, 壁厚, 与周围组织界限不甚清晰。诊断腹膜后肿瘤。经手术证实为腹膜后淋巴管瘤并感染(图 2)。

3. 小网膜囊内神经鞘瘤囊性变 女, 60 岁。腹部胀痛不适 13 年多, 呈渐进性加重。CT 平扫见胰腺前、胃后方有巨大混杂密度包块, 最大平面直径 14.9cm × 12.9cm, 壁薄, 肿块内密度不均, 呈多个大小不等的囊腔, 部分为实性成份, 并有点状钙化, 增强后肿块不均质轻度强化。诊断腹膜后神经源性肿瘤, 手术证实为小网膜囊内神经鞘瘤囊性变(图 3)。

4. 输卵管—卵巢炎症后囊肿 女, 30 岁。下腹隐痛半年。CT 平扫见盆腔子宫前方有一葫芦状囊性肿块, CT 值与水密度近似, 大小约 17cm × 5.5cm, 壁厚 5mm, 与子宫及周围脏器分界不清, 囊内有分隔, 增强后囊壁及分隔显著强化。诊断卵巢囊肿。病理证实为输卵管—卵巢炎症后囊肿。追问病史半年前有妇科急性炎症病史(图 4)。

## 讨 论

1. 位于中下腹的巨大囊性包块 ①卵巢囊腺瘤: 好发育龄妇女, 有浆液性与粘液性囊腺瘤之分, 浆液性囊腺瘤好双侧发病, 薄壁, 单房或多房; 粘液性为单侧发病, 壁较厚, 多房, 偏大<sup>[1]</sup>, 肿瘤可为囊性或囊实质性, 包膜完整, 边界清楚。浆液性囊腺瘤 CT 值偏低, 囊壁可钙化; 粘液性 CT 值稍高, 但低于软组织, 且壁厚于浆液性, 多为多房性囊肿。但当浆液性囊腺瘤伴有出血时其密度可增高, 此时根据密度判断浆液性与粘液

性则不可靠。

②囊性淋巴管瘤: 是一种发育异常的疾病, 系淋巴组织闭塞, 缺如, 淋巴管增殖, 扩张的结果, 生长缓慢<sup>[2]</sup>。因其有沿腔隙生长的特点, 一般病变小时占位效应不明显, 肿瘤大时则有占位征象。本组有发生于盆腔、肠系膜及腹膜后共 5 例, 曾有 2 例误诊。CT 特征为边界清楚、壁薄、多房的囊性包块, 有分隔, 囊内可为水密度或负值(乳糜液), 合并感染或出血时 CT 值可增高, 并见液体分层。增强扫描囊内见有肠系膜血管显影时诊断本病可靠性较大<sup>[3]</sup>, 据此可与其它疾病相鉴别。

③输卵管—卵巢囊肿: 输卵管炎症累及卵巢后与之互相粘连, 形成炎性输卵管—卵巢包块、积脓, 脓液吸收后可导致输卵管—卵巢囊肿, 囊肿典型时可表现为曲颈瓶状, CT 上表现为囊性肿块, 壁厚、粗糙, 多有分隔, 与周围脏器粘连, 边界模糊不清, 囊内若有空气影则为其特征性改变。

④成熟性囊性畸胎瘤: 又称皮样囊肿, 由多胚层组织组成, 有上皮、脂肪、牙齿、骨骼等。CT 表现为单房、厚壁、边界清楚的混杂密度包块, 包块内脂肪密度较皮下脂肪更低, 可形成脂肪—液面征, 毛发浮球征, CT 诊断不难, 但一定要有脂肪或钙化影存在(图 5)。

2. 位于中上腹的巨大囊性包块 ①小网膜囊内神经鞘瘤囊性变: 腹部神经鞘瘤多位于腹膜后, 本组有 1 例发生于小网膜囊内者国内尚未见报道。病理上, 肿瘤起源于周围神经鞘细胞<sup>[4]</sup>, 为良性、孤立性病变, 包膜完整、界限清楚。CT 表现为密度均匀、边界清楚的实质性肿块, 可钙化, CT 值介于水与肌组织之间, 增强有轻度强化。本文图 3 为发生于小网膜囊内神经鞘瘤

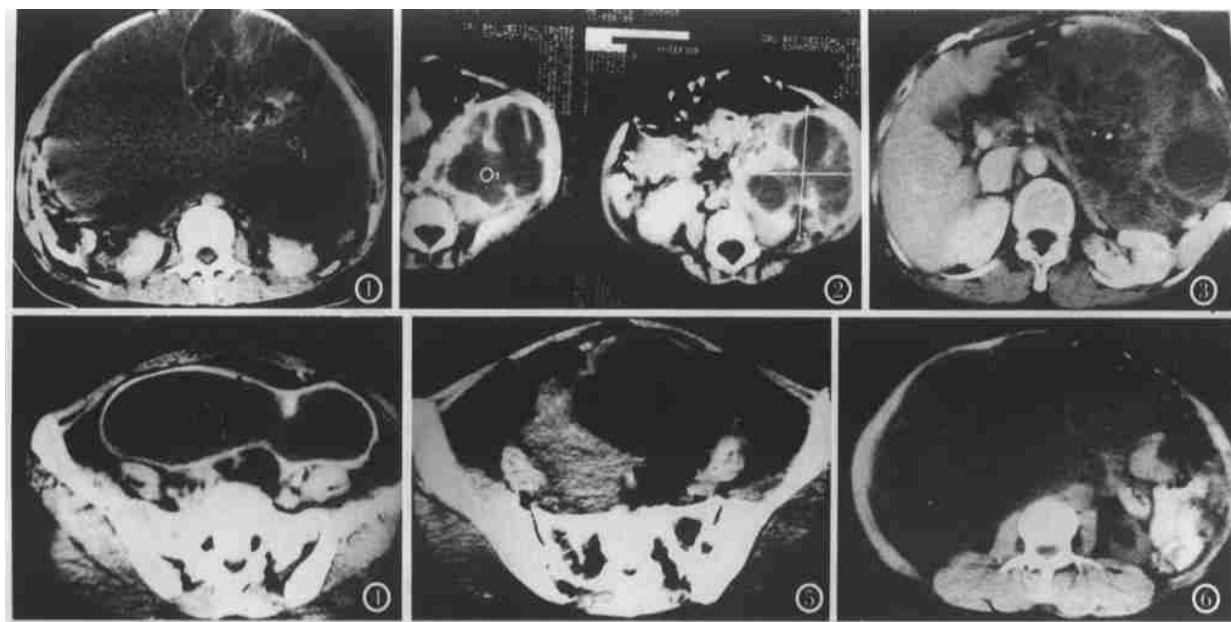


图1 卵巢粘液性囊腺瘤, 壁薄, 大囊中套小房, 呈典型囊中囊改变。图2 腹膜后淋巴管瘤合并感染, 壁厚, 边界模糊, 囊内嵴状分隔。图3 小网膜囊内神经鞘瘤囊性变, 囊实质性肿块不均质强化, 内有点状钙化。图4 输卵管一卵巢炎症后囊肿, 葫芦状囊性水密度肿块, 增强无强化。图5 成熟性囊性畸胎瘤, 囊内有分隔, 可见脂液平面征。图6 巨大肾积水, 肾积水、扩张, 肾皮质萎缩、变薄如纸。

囊性变, 病例较特殊, 与其它腹部囊性病变不易鉴别, 术前易误诊。

②胆总管囊肿: 胆道的局限性扩张形成囊肿, 囊肿中心点位于中上腹, 有胆道梗阻症状。肝内胆管扩张程度与胆总管扩张程度不呈比例, CT 表现为边界光滑、壁偏厚、密度均匀的囊性包块, 静脉注射胆影葡胺后造影剂可进入囊内, 形成均一的高密度增强影。

③胃肠重复畸形囊肿: 少见, 系发育障碍性疾病, 发病年龄小。重复肠有正常的粘膜、粘膜下层和内环肌, 易形成肠梗阻、胃肠穿孔等急腹症<sup>[5]</sup>。CT 表现为管形、类圆形、单房、壁厚的囊性包块, 合并脊柱畸形是诊断成立的有力佐证。

3. 位于腹膜后的巨大囊性包块 ①巨大肾积水: 输尿管或膀胱梗阻引起肾盂积水、扩张, 肾实质萎缩、变薄, 最后全肾成为一个无功能的松弛巨囊, CT 所见与病理改变相同, 肾影巨大, 肾收集系统囊形扩大, 肾实质萎缩、变薄如纸, 增强扫描无分泌功能(图6)。②巨大囊性淋巴管瘤并感染: 淋巴管瘤好发颈胸部, 腹膜后发病罕见, 本组1例, 但国外一组资料统计腹膜后发病者约占1/4<sup>[6]</sup>。因属发育异常性疾病, 所以本病易发于婴幼儿及胎儿, 偶见于成人。胎儿期诊断须依赖超声检查。本文例2有发烧、血象升高等表现, 其CT

所见为壁薄、边界不甚清楚、有分隔的囊性包块, 周围脏器受压、移位, 增强扫描囊壁及分隔有强化。

## 结 论

腹部巨大囊性包块绝大多数为良性, 本组病例未发现恶性; 包块中心点位于中下腹者以女性附件疾患发病率最高; 囊性淋巴管瘤在腹部囊性病变中占有一定比例, 并且腹膜后发病也不少见, 鉴别诊断时应不忘考虑。

## 参考文献

- 1 冯亭, 耿威军, 李仲民. 400例卵巢囊性肿瘤B超和病理对照分析[J]. 医学影像杂志, 1995, 01, 5(1): 18-19.
- 2 Fernandez-Huitado I, Bregante J, Mulet-Ferragut JF, et al. Abdominal cystic lymphangioma; CirPediatr, 1998 Oct, 11(4): 17-3.
- 3 唐光才, 朱晓华, 明兵, 等. 肠系膜淋巴管瘤的CT表现[J]. 中华放射学杂志, 1998, 02, 10, 32(2): 115-117.
- 4 Murakami R, Tajima H, Kobayashi Y, et al. Mesenteric schwannoma, Eur Radiol, 1998, 8(2): 277-9.
- 5 Kouranidou C, Montemarano H, Vakaki M, et al. Perforation of multiple gastric duplication cysts diagnosis by sonography; Eur Radiol, 1999, 9(8): 1675-7.
- 6 Merrot T, Chaumoitre K, Simeoni Alia J, et al. Abdominal cystic lymphangiomas in children clinical, diagnostic and therapeutic aspects: apropos of 21 cases, Ann chir, 1999, 53(6): 494-9.

(2000-05-17 收稿)